

УДК 532.542

## ТЕЧЕНИЕ ЖИДКОСТИ КЭССОНА ЧЕРЕЗ ПОРИСТУЮ СРЕДУ, ВЫЗВАННОЕ НЕКОАКСИАЛЬНЫМ ВРАЩЕНИЕМ ПОРИСТОГО ДИСКА И ОКРУЖАЮЩЕЙ ЖИДКОСТИ

Ш. Рафик\*, М. Наваз\*\*, М. Мустахсан\*

\* Исламский университет Бахавалпура, Бахавалпур, Пакистан

\*\* Институт космических технологий, Исламабад, Пакистан

E-mails: sheenshahid@gmail.com, nawaz\_d2006@yahoo.com,  
muhammad.mustahsan@iub.edu.pk

Исследуется течение жидкости Кэссона, вызванное некоаксиальным вращением диска и вращением на бесконечности окружающей жидкости. Уравнение в частных производных приводится к безразмерной форме. С использованием преобразования Лапласа получено точное решение нелинейной краевой задачи. Вычислены сдвиговые напряжения на поверхности диска и определено установившееся распределение напряжений. Получены зависимости скоростей первичного и вторичного течений от безразмерных параметров задачи.

Ключевые слова: жидкость Кэссона, некоаксиальное вращение, пористая среда, напряжения сдвига.

DOI: 10.15372/PMTF20180405

**Введение.** Получение точных решений задач газогидродинамики очень важно, поскольку они используются для тестирования численных методов, а также широко используемых пакетов программ, таких как Mathematica, Maple, Matlab и др. После опубликования работы [1], в которой исследовалась задача о влиянии вращения Земли на океанические течения, были предложены различные методы построения точных решений таких задач. Обзор работ, в которых получены точные решения двумерных уравнений Навье — Стокса, приведен в [2]. Некоторые новые подходы к построению точных решений трехмерных уравнений переноса предложены в работе [3]. В работе [4] получен новый класс точных решений уравнений Эйлера. В [5] предложен новый метод построения точных решений трехмерных уравнений Эйлера и Навье — Стокса. В работе [6] найдено аналитическое решение задачи Бенарда — Марангони об установившейся осесимметричной конвекции в вязкой несжимаемой жидкости. В ряде работ построены аналитические точные или приближенные решения задач о течении вязкой жидкости, вызванном вращением диска или цилиндра. Решения таких задач имеют большое прикладное значение. Имеется также небольшое количество исследований течения, вызванного некоаксиальным вращением диска и окружающей жидкости. В работе [7] с учетом теплового излучения решена задача о течении жидкости Кэссона и теплопереносе вблизи растягивающейся по экспоненциальному закону пористой поверхности. В [8] исследовалось течение, вызванное некоаксиальным

вращением диска и вращением на бесконечности окружающей жидкости при условии, что скорости их вращения различны. В [9] изучено течение вязкой жидкости, вызванное некоаксиальным вращением диска и вращением на бесконечности окружающей жидкости, а также получено аналитическое решение в безразмерных переменных.

В [10] найдено точное решение задачи о течении жидкости, вызванном некоаксиальным вращением пористого диска и вращением на бесконечности окружающей жидкости. В работе [11] рассмотрена задача о неустановившемся течении жидкости, обусловленном некоаксиальным вращением пористого диска и вращением на бесконечности окружающей жидкости. В [12] решена задача о течении, вызванном эксцентрическим вращением двух дисков, и исследовано влияние пористости среды на течение. В [13] изучалось влияние магнитного поля на течение жидкости Олдройда между двумя эксцентрически вращающимися дисками. В [14] исследовалось течение вязкой жидкости, вызванное вращением диска и вращением на бесконечности окружающей жидкости, погруженной в пористую среду. В [15] изучалось течение магнитогидродинамической неньютоновской жидкости, обусловленное некоаксиальным вращением диска и вращением на бесконечности окружающей жидкости. В [16] исследовалось влияние эффекта Холла на неустановившееся течение, вызванное некоаксиальным вращением жидкости на бесконечности. Теплоперенос в магнитогидродинамическом неустановившемся потоке, обусловленном эксцентрическим вращением диска и жидкости на бесконечности, изучался в работе [17]. В [18] получено точное решение задачи о неустановившемся течении, вызванном некоаксиальным вращением диска и вращением жидкости на бесконечности. Аналогичная задача для случая пористого диска решалась в работе [19].

В данной работе проводится исследование течения жидкости Кэссона, вызванного некоаксиальным вращением диска и вращением жидкости на бесконечности, обобщающее результаты [19].

**1. Постановка задачи.** Тензор напряжений для несжимаемой жидкости Кэссона (неньютоновской жидкости) определяется следующим образом [7]:

$$\tau = -pI + (1 + \beta^{-1})A_1.$$

Здесь  $p$  — давление;  $I$  — единичный тензор;  $A_1$  — первый тензор Ривлина — Эриксона;  $\beta$  — параметр жидкости Кэссона. Рассматривается жидкость Кэссона, заполняющая полупространство  $z > 0$  и ограниченная бесконечным пористым диском, расположенным в плоскости  $z = 0$ . Оси вращения диска и жидкости расположены в плоскости  $x = 0$ . Расстояние между осями вращения равно  $l$ . Первоначально (при  $t = 0$ ) диск и жидкость на бесконечности вращаются вокруг оси  $z$  с одной и той же постоянной скоростью. При  $t > 0$  диск внезапно начинает вращаться вокруг оси, расположенной на расстоянии  $l$  от оси  $z$ , с постоянной скоростью  $\Omega$ , а жидкость на бесконечности продолжает вращаться вокруг оси  $z$  с той же угловой скоростью, что и диск.

**2. Математическая формулировка задачи.** Поле скоростей задается формулой

$$\mathbf{V} = [-\Omega y + f(z, t), \Omega x + g(z, t), -w_0]. \quad (1)$$

Такое поле скоростей в случае некоаксиального вращения диска рассматривалось в работах [11, 14, 16, 18, 19].

Исследуемое течение жидкости Кэссона описывается уравнениями

$$\begin{aligned} \nabla \cdot \mathbf{V} &= 0, \\ \rho \left( \frac{d\mathbf{V}}{dt} + 2\boldsymbol{\Omega} \times \mathbf{V} + \boldsymbol{\Omega} \times (\boldsymbol{\Omega} \times \mathbf{r}) \right) &= -\nabla p + \mu \left( 1 + \frac{1}{\beta} \right) \nabla^2 \mathbf{V} - \frac{\mu}{K} \mathbf{V}. \end{aligned} \quad (2)$$

Подставляя выражение для скорости (1) в уравнения (2), получаем

$$\begin{aligned}\frac{\partial f}{\partial t} - w_0 \frac{\partial f}{\partial z} - \Omega g &= -\frac{1}{\rho} \frac{\partial p}{\partial x} + \Omega^2 x + \frac{\mu \Omega}{\rho K} y + \nu \left(1 + \frac{1}{\beta}\right) \frac{\partial^2 f}{\partial z^2} - \frac{\mu}{\rho K} f, \\ \frac{\partial g}{\partial t} - w_0 \frac{\partial g}{\partial z} + \Omega f &= -\frac{1}{\rho} \frac{\partial p}{\partial y} + \Omega^2 y - \frac{\mu \Omega}{\rho K} x + \nu \left(1 + \frac{1}{\beta}\right) \frac{\partial^2 g}{\partial z^2} - \frac{\mu}{\rho K} g.\end{aligned}$$

Начальные и граничные условия записываются в виде

$$\begin{aligned}u &= -\Omega(y - l), \quad v = \Omega x, \quad w = -w_0 \quad \text{при } t = 0, \quad z > 0, \\ u &= -\Omega y, \quad v = \Omega x, \quad w = -w_0 \quad \text{при } z = 0, \quad t > 0, \\ u &= -\Omega(y - l), \quad v = \Omega x, \quad w = -w_0 \quad \text{при } z \rightarrow \infty \quad \forall t.\end{aligned}$$

Здесь  $u, v, w$  — компоненты вектора скорости в направлениях осей  $x, y, z$  соответственно; значения  $w_0 > 0$  соответствуют отсосу,  $w_0 < 0$  — вдуву;  $\rho$  — плотность жидкости;  $\mu$  — динамическая вязкость жидкости;  $\nu$  — кинематическая вязкость;  $p$  — давление;  $K$  — проницаемость среды.

Исключая давление из второго уравнения (2) [11, 14, 16, 18, 19], получаем

$$\begin{aligned}\frac{\partial f}{\partial t} - w_0 \frac{\partial f}{\partial z} - \Omega g &= \nu \left(1 + \frac{1}{\beta}\right) \frac{\partial^2 f}{\partial z^2} - \frac{\mu}{\rho K} f(\Omega l - f), \\ \frac{\partial g}{\partial t} - w_0 \frac{\partial g}{\partial z} - \Omega(\Omega l - f) &= \nu \left(1 + \frac{1}{\beta}\right) \frac{\partial^2 g}{\partial z^2} - \frac{\mu}{\rho K} g; \\ f(z, 0) &= \Omega l, \quad g(z, 0) = 0 \quad \text{при } z \geq 0, \\ f(0, t) &= 0, \quad g(0, t) = 0 \quad \text{при } t > 0, \\ f(\infty, t) &= \Omega l, \quad g(\infty, t) = 0 \quad \forall t.\end{aligned}\tag{3}$$

Вводя безразмерные переменные

$$\eta = \sqrt{\frac{\Omega}{2\nu}} z, \quad \tau = \Omega t, \quad S = \frac{w_0}{2\sqrt{\Omega\nu}}, \quad \sigma = \frac{K\Omega}{\nu},$$

уравнения (3) можно записать в виде

$$\begin{aligned}\frac{\partial F}{\partial \tau} - \sqrt{2} S \frac{\partial F}{\partial \eta} &= \frac{1}{2} \left(1 + \frac{1}{\beta}\right) \frac{\partial^2 F}{\partial \eta^2} - \left(\frac{1}{\sigma} + i\right) F = 0, \\ F(\eta, 0) &= 0, \quad F(0, \tau) = -1, \quad F(\infty, \tau) = 0,\end{aligned}\tag{4}$$

где

$$F = (f + ig)/(\Omega l) - 1.$$

Применяя преобразование Лапласа к краевой задаче (4), получаем

$$\begin{aligned}\frac{1}{2} \left(1 + \frac{1}{\beta}\right) \frac{d^2 \bar{F}}{d\eta^2} + \sqrt{2} S \frac{d\bar{F}}{d\eta} - \left(\frac{1}{\sigma} + i + p\right) \bar{F} &= 0, \\ \bar{F}(0, p) &= -1/p, \quad \bar{F}(\infty, p) = 0,\end{aligned}\tag{5}$$

где  $p$  — параметр преобразования Лапласа. Решение краевой задачи (5) записывается в виде

$$\bar{F}(\eta, p) = -\frac{1}{p} \exp \left[ - \left( \frac{\sqrt{2} S}{1 + 1/\beta} + \sqrt{ap + b\eta} \right) \eta \right],\tag{6}$$

где

$$a = 2/(1 + 1/\beta), \quad b = 2(S^2 + 1/\sigma + i)/(1 + 1/\beta)^2.$$

Применяя обратное преобразование к уравнению (6), получаем

$$\begin{aligned} \frac{f + ig}{\Omega l} = 1 - \frac{1}{2} \exp\left(-\frac{\sqrt{2} S}{1 + 1/\beta} \eta\right) \times \\ \times \left[ e^{(\alpha_1 + i\beta_1)\eta} \operatorname{erfc}\left(\frac{\eta}{2} \sqrt{\frac{2}{(1 + 1/\beta)\tau}} + (\alpha_1 + i\beta_1) \sqrt{\left(1 + \frac{1}{\beta}\right) \frac{\tau}{2}}\right) + \right. \\ \left. + e^{-(\alpha_1 + i\beta_1)\eta} \operatorname{erfc}\left(\frac{\eta}{2} \sqrt{\frac{2}{(1 + 1/\beta)\tau}} - (\alpha_1 + i\beta_1) \sqrt{\left(1 + \frac{1}{\beta}\right) \frac{\tau}{2}}\right) \right], \quad (7) \end{aligned}$$

где

$$\begin{aligned} \alpha_1 = \left( \frac{(S^2 + 1/\sigma)(1 + 1/\beta)^2 + \sqrt{(S^2 + 1/\sigma)^2(1 + 1/\beta)^4 + 1}}{(1 + 1/\beta)^4} \right)^{1/2}, \\ \beta_1 = \left( -\frac{(S^2 + 1/\sigma)(1 + 1/\beta)^2 + \sqrt{(S^2 + 1/\sigma)^2(1 + 1/\beta)^4 + 1}}{(1 + 1/\beta)^4} \right)^{1/2}. \end{aligned} \quad (8)$$

При  $\beta \rightarrow \infty$  краевая задача (4) сводится к задаче, рассмотренной в [19]. Следует отметить также, что при  $\beta \rightarrow \infty$  формулы (7), (8) переходят в формулы, представляющие собой решение задачи в случае ньютоновской жидкости:

$$\begin{aligned} \frac{f + ig}{\Omega l} = 1 - \frac{1}{2} e^{-\sqrt{2} S \eta} \left[ e^{(\alpha_1 + i\beta_1)\eta} \operatorname{erfc}\left(\frac{\eta}{2} \sqrt{\frac{2}{\tau}} + (\alpha_1 + i\beta_1) \sqrt{\frac{\tau}{2}}\right) + \right. \\ \left. + e^{-(\alpha_1 + i\beta_1)\eta} \operatorname{erfc}\left(\frac{\eta}{2} \sqrt{\frac{2}{\tau}} - (\alpha_1 + i\beta_1) \sqrt{\frac{\tau}{2}}\right) \right], \quad (9) \end{aligned}$$

$$\alpha_1 = \left( \left( S^2 + \frac{1}{\sigma} \right) + \sqrt{\left( S^2 + \frac{1}{\sigma} \right)^2 + 1} \right)^{1/2}, \quad \beta_1 = \left( -\left( S^2 + \frac{1}{\sigma} \right) - \sqrt{\left( S^2 + \frac{1}{\sigma} \right)^2 + 1} \right)^{1/2}.$$

Таким образом, решение, полученное в работе [19], является частным случаем решения, полученного в данной работе. Следует отметить, что параметр  $S = w_0/(2\sqrt{\Omega\nu})$  описывает как случай отсоса, так и случай вдува. Из неравенства  $S > 0$  следует, что  $w_0 > 0$ . Этот случай соответствует отсосу жидкости. Неравенство  $S < 0$  выполняется только при  $w_0 < 0$ . Этот случай соответствует вдуву жидкости в поток. Если поры в диске отсутствуют, то  $w_0 = 0$  и, следовательно,  $S = 0$ . При  $S = 0$  формулы (9) переходят в формулы, описывающие решение для случая непроницаемого диска:

$$\begin{aligned} \frac{f + ig}{\Omega l} = 1 - \frac{1}{2} \left[ e^{(\alpha_1 + i\beta_1)\eta} \operatorname{erfc}\left(\frac{\eta}{2} \sqrt{\frac{2}{\tau}} + (\alpha_1 + i\beta_1) \sqrt{\frac{\tau}{2}}\right) + \right. \\ \left. + e^{-(\alpha_1 + i\beta_1)\eta} \operatorname{erfc}\left(\frac{\eta}{2} \sqrt{\frac{2}{\tau}} - (\alpha_1 + i\beta_1) \sqrt{\frac{\tau}{2}}\right) \right]. \quad (10) \end{aligned}$$

Здесь

$$\alpha_1 = \left( \frac{1}{\sigma} + \sqrt{\frac{1}{\sigma^2} + 1} \right)^{1/2}, \quad \beta_1 = \left( -\frac{1}{\sigma} - \sqrt{\frac{1}{\sigma^2} + 1} \right)^{1/2},$$

$\sigma = K\Omega/\nu$  — параметр пористости среды. Значения  $K \rightarrow \infty$  соответствуют случаю отсутствия пористой среды. При  $K \rightarrow \infty$   $\sigma \rightarrow \infty$ . При  $\sigma \rightarrow \infty$  и  $\beta \rightarrow \infty$  решение (7), (8)

сводится к решению, полученному в работе [10]. Полагая в формуле (10)  $\tau \rightarrow \infty$ , получаем решение для случая установившегося течения

$$\frac{f + ig}{\Omega l} = 1 - \exp \left[ - \left( \frac{\sqrt{2} S}{1 + 1/\beta} + \alpha_1 + i\beta_1 \right) \eta \right].$$

**3. Результаты исследования и их обсуждение.** Исследуем зависимость полученного решения задачи от различных безразмерных параметров. Напряжения сдвига на поверхности диска ( $\eta = 0$ ) и напряжения в установившемся течении ( $\tau \rightarrow \infty$ ) определяются по формуле

$$\begin{aligned} \tau_{Sx} + i\tau_{Sy} = & \frac{S}{\sqrt{2}(1 + 1/\beta)} \left[ \operatorname{erfc} \left( - \frac{(\alpha_1 + i\beta_1)\sqrt{(1 + 1/\beta)\tau}}{\sqrt{2}} \right) + \right. \\ & \left. + \operatorname{erfc} \left( \frac{(\alpha_1 + i\beta_1)\sqrt{(1 + 1/\beta)\tau}}{\sqrt{2}} \right) \right] + \\ & + \frac{1}{2} \left[ 2e^{-(\alpha_1 + i\beta_1)^2/2} \left( 1 + \frac{1}{\beta} \right)^2 \sqrt{\frac{2}{\pi\tau(1 + 1/\beta)}} - \right. \\ & - (-\alpha_1 - i\beta_1) \operatorname{erfc} \left( - \frac{(\alpha_1 + i\beta_1)\sqrt{(1 + 1/\beta)\tau}}{\sqrt{2}} \right) - \\ & \left. - (\alpha_1 + i\beta_1) \operatorname{erfc} \left( \frac{(\alpha_1 + i\beta_1)\sqrt{(1 + 1/\beta)\tau}}{\sqrt{2}} \right) \right]. \end{aligned}$$

На рис. 1 приведена зависимость безразмерной скорости первичного течения  $f/(\Omega l)$  от параметра  $\eta$  при различных значениях параметра  $S$ . При  $S > 0$  (в случае отсоса) скорость первичного течения больше, чем в случае  $S = 0$  (в случае непроницаемого диска), а при  $S < 0$  (в случае вдува) — меньше. На рис. 2 представлена зависимость безразмерной скорости вторичного течения  $g/(\Omega l)$  от параметра  $\eta$  при различных значениях параметра  $S$ . При  $S > 0$  (в случае отсоса) скорость вторичного течения меньше, чем в случае  $S = 0$  (в случае непроницаемого диска), а при  $S < 0$  (в случае вдува) — больше. Такое соотношение скоростей первичного и вторичного течений следует из закона сохранения массы.

На рис. 3 приведена зависимость безразмерной скорости первичного течения от координаты  $\eta$  в различные моменты времени  $\tau$ . С увеличением времени  $\tau$  безразмерная скорость первичного течения уменьшается. Это означает, что в неустановившемся потоке скорость первичного течения больше, чем в установившемся. Безразмерная скорость вторичного течения увеличивается с увеличением времени  $\tau$  (рис. 4). На рис. 5, 6 представлены зависимости скоростей первичного и вторичного течений от параметра  $\eta$  при различных значениях параметра  $\beta$ . Видно, что с увеличением параметра  $\beta$  скорости первичного и вторичного течений увеличиваются. На рис. 7, 8 приведены зависимости скоростей первичного и вторичного течений от параметра  $\eta$  при различных значениях параметра пористости  $\sigma$ .

**Заключение.** Аналитически исследовано течение жидкости Кэссона (неньютоновской жидкости), вызванное вращением пористого диска и окружающей жидкости. На основе полученного аналитического решения исследовано влияние на течение отсоса и вдува жидкости в поток, а также влияние параметра жидкости Кэссона на скорость течения. Показано, что скорость ньютоновской жидкости больше скорости жидкости Кэссона. Установлено, что полученные ранее решения являются частными случаями решения, найденного в данной работе. В результате исследования влияния на течение параметра пористости среды обнаружено, что с увеличением параметра пористости скорость вторичного

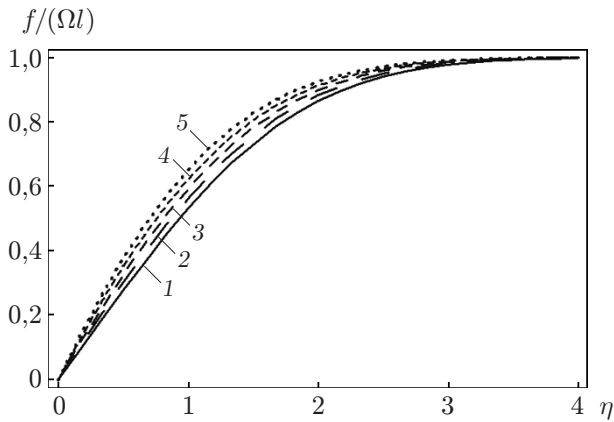


Рис. 1

Рис. 1. Зависимость скорости первичного течения от параметра  $\eta$  при  $\tau = 0,2$ ,  $\beta = 0,4$ ,  $\sigma = 0,2$  и различных значениях параметра  $S$ :

1 —  $S = -0,8$ , 2 —  $S = -0,4$ , 3 —  $S = 0$ , 4 —  $S = 0,4$ , 5 —  $S = 0,8$

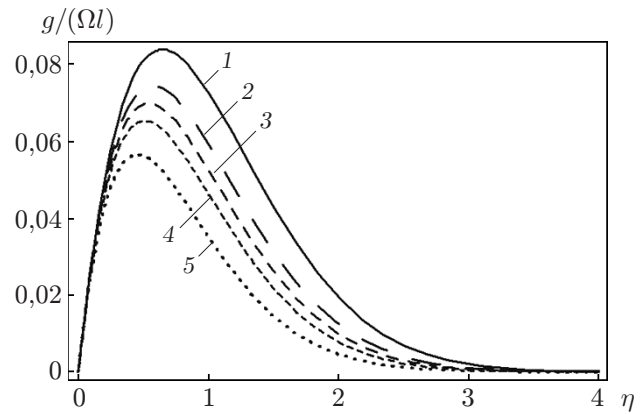


Рис. 2

Рис. 2. Зависимость скорости вторичного течения от параметра  $\eta$  при  $\tau = 0,9$ ,  $\beta = 0,6$ ,  $\sigma = 0,8$  и различных значениях параметра  $S$ :

1 —  $S = -0,3$ , 2 —  $S = -0,1$ , 3 —  $S = 0$ , 4 —  $S = 0,1$ , 5 —  $S = 0,3$

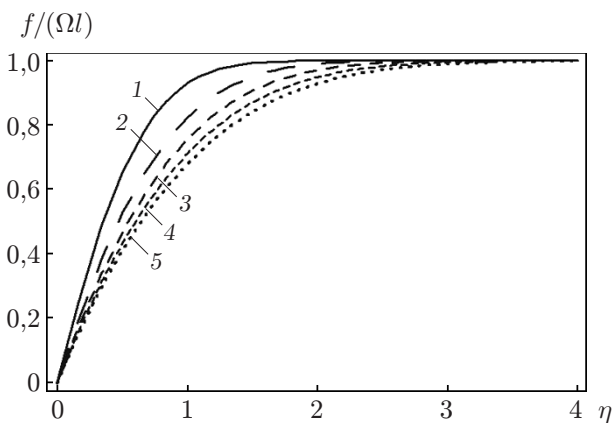


Рис. 3

Рис. 3. Зависимость скорости первичного течения от параметра  $\eta$  при  $S = 0,5$ ,  $\beta = 0,4$ ,  $\sigma = 0,5$  и различных значениях безразмерного времени  $\tau$ :

1 —  $\tau = 0,1$ , 2 —  $\tau = 0,2$ , 3 —  $\tau = 0,3$ , 4 —  $\tau = 0,4$ , 5 —  $\tau = 0,5$

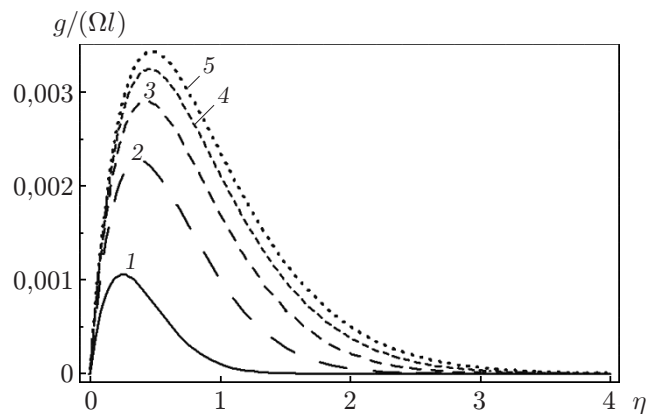


Рис. 4

Рис. 4. Зависимость скорости вторичного течения от параметра  $\eta$  при  $S = 1,0$ ,  $\beta = 0,7$ ,  $\sigma = 0,2$  и различных значениях безразмерного времени  $\tau$ :

1 —  $\tau = 0,1$ , 2 —  $\tau = 0,3$ , 3 —  $\tau = 0,5$ , 4 —  $\tau = 0,7$ , 5 —  $\tau = 0,9$

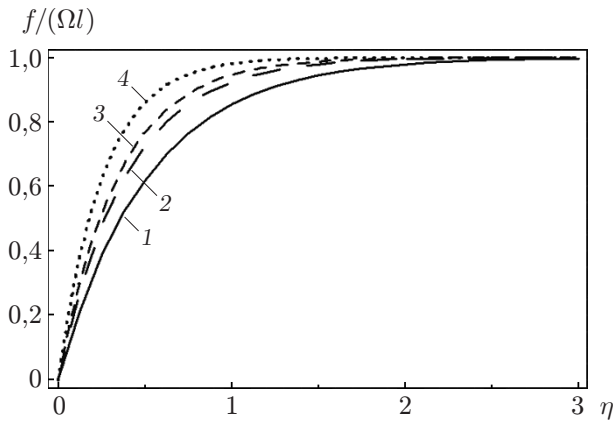


Рис. 5

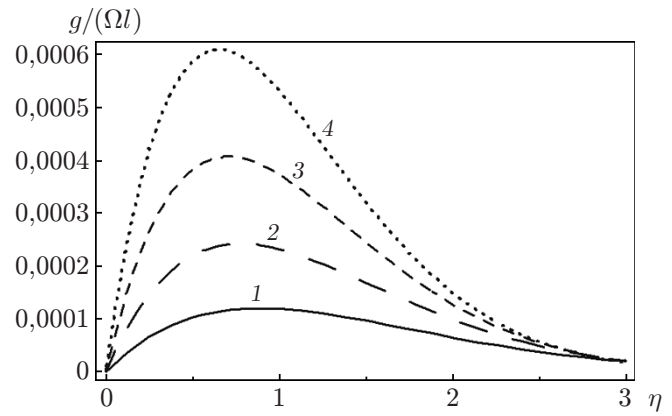


Рис. 6

Рис. 5. Зависимость скорости первичного течения от параметра  $\eta$  при  $\tau = 5$ ,  $S = 1$ ,  $\sigma = 0,5$  и различных значениях параметра  $\beta$ :

1 —  $\beta = 1$ , 2 —  $\beta = 2$ , 3 —  $\beta = 3$ , 4 —  $\beta = \infty$

Рис. 6. Зависимость скорости вторичного течения от параметра  $\eta$  при  $\tau = 0,3$ ,  $S = 0,1$ ,  $\sigma = 0,2$  и различных значениях параметра  $\beta$ :

1 —  $\beta = 0,15$ , 2 —  $\beta = 0,20$ , 3 —  $\beta = 0,25$ , 4 —  $\beta = 0,30$

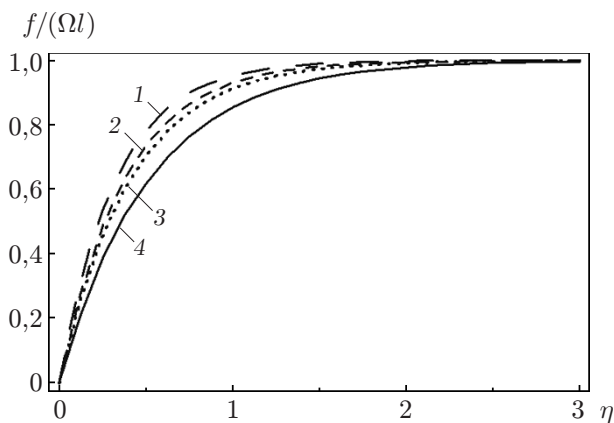


Рис. 7

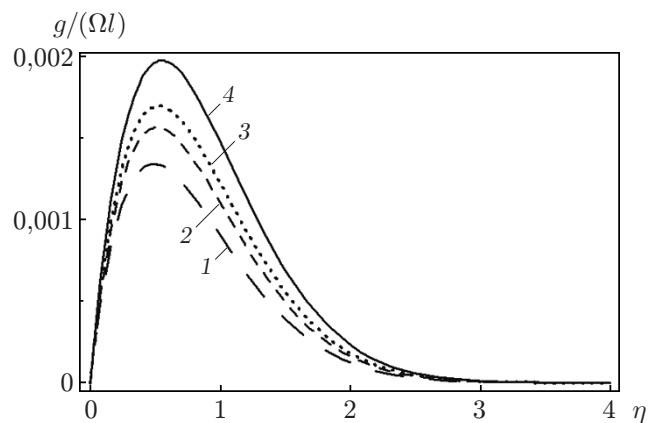


Рис. 8

Рис. 7. Зависимость скорости первичного течения от параметра  $\eta$  при  $\tau = 5$ ,  $S = 1$ ,  $\beta = 0,5$  и различных значениях параметра  $\sigma$ :

1 —  $\sigma = 0,10$ , 2 —  $\sigma = 0,15$ , 3 —  $\sigma = 0,20$ , 4 —  $\sigma = 0,50$

Рис. 8. Зависимость скорости вторичного течения от параметра  $\eta$  при  $\tau = 0,3$ ,  $S = 0,1$ ,  $\beta = 0,2$  и различных значениях параметра  $\sigma$ :

1 —  $\sigma = 0,10$ , 2 —  $\sigma = 0,15$ , 3 —  $\sigma = 0,20$ , 4 —  $\sigma = 0,50$

течения уменьшается, а скорость первичного течения увеличивается. Вдув и отсос оказывают противоположное влияние на течение. В случае вдува скорость вторичного течения для пористого диска больше скорости вторичного течения для непроницаемого диска.

#### ЛИТЕРАТУРА

1. **Ekman V. W.** On the influence of the earth's rotation on ocean-currents // Ark. Mat. Astronomi Fys. 1905. Bd 2, N 11. S. 1–52.
2. **Aristov S. N., Knyazev D. V., Polyaniin A. D.** Exact solutions of the Navier — Stokes equations with the linear dependence of velocity components on two space variables // Theor. Found. Chem. Engng. 2009. V. 43, iss. 5. P. 642–662.
3. **Aristov S. N., Prosviryakov E. Yu.** A new class of exact solutions for three dimensional thermal diffusion equations // Theor. Found. Chem. Engng. 2016. V. 50, iss. 3. P. 286–293.
4. **Aristov S. N., Polyaniin A. D.** New classes of exact solutions of Euler equations // Dokl. Phys. 2008. V. 53, N 3. P. 166–171.
5. **Polyaniin A. D., Aristov S. N.** A new method for constructing exact solutions to three dimensional Navier — Stokes and Euler equations // Theor. Found. Chem. Engng. 2011. V. 45, iss. 6. P. 885–890.
6. **Aristov S. N., Prosviryakov E. Yu.** On one class of analytic solutions for steady state axisymmetric Benard — Marangoni convection in a viscous incompressible liquid // Vestn. Samar. Gos. Tekh. Univ. Ser. Fiz.-Mat. Nauki. 2013. Iss. 3. P. 110–118.
7. **Pramanik S.** Casson fluid flow and heat transfer past an exponentially porous stretching surface in presence of thermal radiation // Engng Phys. Math. 2014. V. 5, iss. 1. P. 205–212.
8. **Berker R.** Handbook of fluid dynamics. Berlin: Springer, 1963.
9. **Coirier J.** Rotations non-coaxial d'un disque et d'un fluid à l'infini // J. Mech. 1972. V. 11. P. 317–340.
10. **Erdogan M. E.** Flow due to eccentric rotating a porous disk and a fluid at infinity // J. Appl. Mech. 1976. V. 43. P. 203–204.
11. **Erdogan M. E.** Flow due to non-coaxial rotations of porous disk and a fluid at infinity // Rev. Roumaine Sci. Tech. Ser. Méc. Appl. 1977. V. 22. P. 171–178.
12. **Erdogan M. E.** Unsteady viscous flow between eccentric rotating disks // Intern. J. Nonlinear Mech. 1995. V. 30. P. 711–717.
13. **Ersoy H. V.** MHD flow of an Oldroyd-B fluid between eccentric rotating disks // Intern. J. Engng Sci. 1999. V. 37. P. 1973–1984.
14. **Guria M., Manna G., Jana R. N., Pop I.** Flow due to non-coaxial rotations of permeable disk and a fluid at infinity through porous medium // Intern. J. Appl. Mech. Engng. 2007. V. 12. P. 965–974.
15. **Hayat T., Ellahi R., Asghar S.** Unsteady magnetohydrodynamic non-Newtonian flow due to non-coaxial rotations of disk and a fluid at infinity // Chem. Engng Comm. 2007. V. 194. P. 37–49.
16. **Hayat T., Ellahi R., Asghar S.** Hall effects on unsteady flow due to non-coaxially rotating disk and a fluid at infinity // Chem. Engng Comm. 2008. V. 195. P. 958–976.
17. **Murthy S. N., Ram R. P. K.** MHD fluid and heat transfer due to eccentric rotations of a porous disk and a fluid at infinity // Intern. J. Engng Sci. 1978. V. 16. P. 943–949.
18. **Pop I.** Unsteady flow due to non-coaxial rotating disk and a fluid at infinity // Bull. Tech. Univ. Istanbul. 1979. V. 32. P. 14–18.
19. **Maji S. L., Manna G., Jana R. N.** Unsteady flow due to non-coaxial rotations of a porous disk and a fluid at infinity through medium // Chem. Engng Comm. 2010. V. 197. P. 791–803.

*Поступила в редакцию 24/VIII 2017 г.,  
в окончательном варианте — 18/X 2017 г.*